

Měření tlaku

Rozdělení měřících metod

- Měření celkových tlaků
- Měření parciálních tlaků

- **Absolutní metody** - hodnota tlaku je určena přímo z údaje měřícího přístroje, nebo výpočtem plynoucím z principu přístroje - ve vztahu nesmí vystupovat charakteristiky měřeného plynu, ale jen charakteristiky přístroje
- **Nepřímé metody** - tlak se určuje pomocí některé veličiny, která závisí na tlaku, ale i na vlastnostech měřeného plynu - vypočtený údaj závisí na druhu plynu

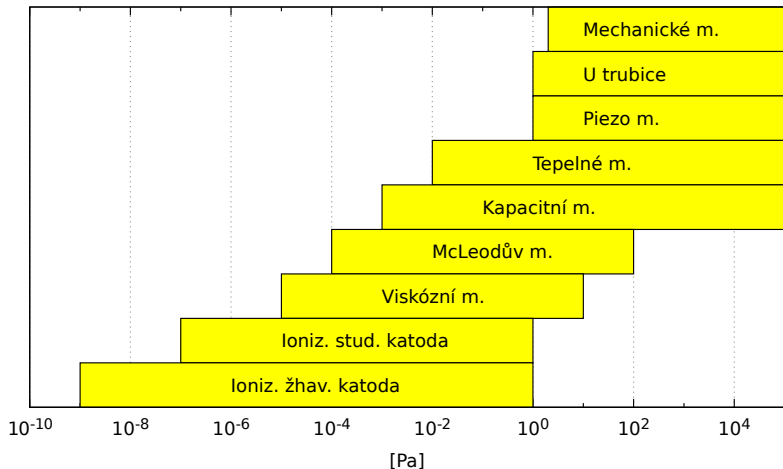
Rozdělení manometrů (technické provedení)

- Aktivní měrky - elektronika je součástí měrky, výstup definované elektrické napětí v závislosti na tlaku
- Aktivní-digitální měrky - RS232, RS485, USB, ...
- Neaktivní měrky - elektronika není součástí měrky připojuje se pomocí kabelu

Charakteristika měřících metod

- **Měřící obor** - rozsah tlaků, v kterém je možné metodu použít
- **Citlivost** - poměr změny údaje přístroje ke změně tlaku
- **Vliv měřícího přístroje** - na hodnotu tlaku a na složení plynů v měřeném objemu
- **Přesnost měření** - chyba měření
- **Setrvačnost údaje přístroje** - rychlosť reakce přístroje na změnu tlaku

Měření celkových tlaků

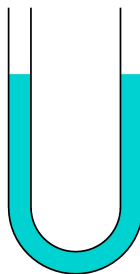


Měření celkových tlaků

Kapalinové manometry

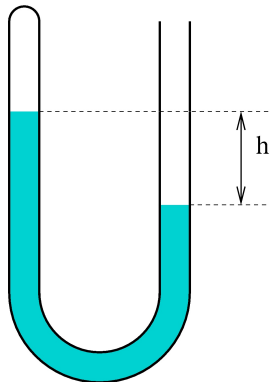
Nejjednodušší metodou je určení tlaku podle definice tlaku $p = \frac{F}{S}$

Otevřený U-manometr



Jedno rameno je připojeno k systému, v němž měříme tlak p , druhé rameno je spojeno se systémem, v němž tlak známe p' , rozdíl $\Delta p = p - p'$ je určen rozdílem výšek hladin pracovní kapaliny $\Delta p = h\varrho g$. Výsledkem měření je tedy údaj rozdílového - diferenciálního tlaku. Nejčastěji používané kapaliny jsou Hg a olej.

Uzavřený U-manometr



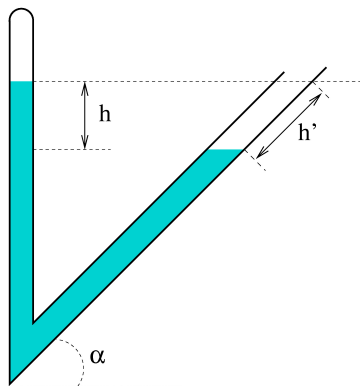
Je vhodnější pro měření nízkých tlaků. Jedna trubice je uzavřena, druhá je spojena s měřeným systémem. Měřený tlak $p = h \rho g$. Pokud je pracovní kapalina Hg pak h udává přímo měřený tlak v [torr]. Nejnižší měřitelný tlak je dán minimálním rozdílem hladin, který můžeme odečíst.

Používají se různá pomocná zařízení pro odečet:

- zatavený drát, jehož odpor se mění s výškou hladiny Hg
- měření kapacity mezi sloupcem Hg a vnější vodivou vrstvou na povrchu trubice
- optické metody (mikroskop, plovák se zrcátkem)

Šikmý uzavřený U-manometr

Zvětšuje citlivost měření.



$$h = h' \sin \alpha \text{ citlivost se zvětší o } \frac{1}{\sin \alpha}$$

Pokud použijeme jinou kapalinu než Hg, nejčastěji olej pak

$$p = \frac{\rho_o}{\rho_{Hg}} h \text{ [torr].}$$

U všech těchto manometrů je důležité, aby hustota kapaliny v obou ramenech byla stejná, aby byla teplota v obou ramenech stejná.

Při odečítání výšky je třeba brát střední výšku menisku kapaliny (průměr trubic). Závisí i na elektrických nábojích na trubicích. Různý tvar menisku může být způsoben tím, jestli se kapalina do konečné polohy dostala stoupáním nebo klesáním.

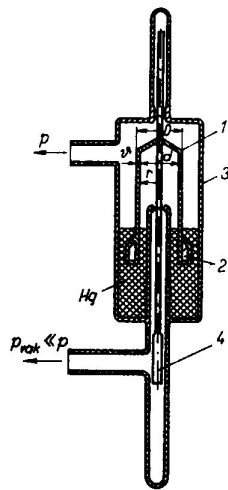
U olejových manometrů je nutné brát do úvahy zpoždění.

Dolní hranice měřených tlaků je $\sim 10^{-1}$ Pa.

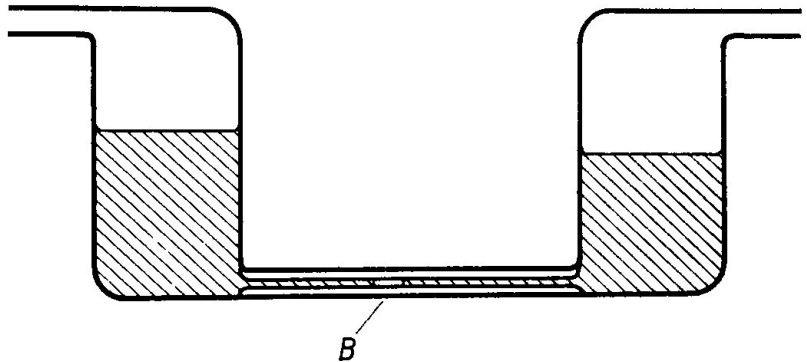
Horní hranice měřených tlaků je $\sim 10^5$ Pa.

Výhody: jednoduchá konstrukce

Nevýhody: páry pracovní kapaliny



J. Groszkowski: Technika vysokého vakua, SNTL, Praha 1981



Obr. 7-3. Diferenciální manometr Maurerův
B — bublina nebo kapka.

L. Pátý: Fyzika nízkých tlaků, Academia, Praha 1968

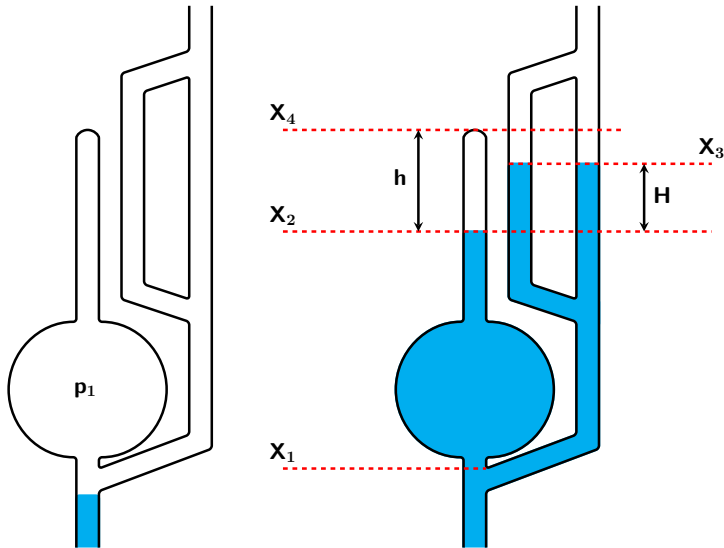
Kompresní manometry

Přesnější a výhodnější, než zpřesňování měření U-trubic, je metoda komprese plynu.

Princip:

Plyn o měřeném tlaku P_x zaujímá objem V_1 . Po stlačení na menší objem V_2 vzroste jeho tlak na P_2 . Platí $P_x V_1 = P_2 V_2 \Rightarrow P_x = \frac{V_2}{V_1} P_2$. Přičemž stupeň komprese $K = \frac{V_2}{V_1}$ lze přímo změřit.

McLeodův kompresní manometr



Komprese plynu se provádí pomocí Hg, V okamžiku, kdy zvedaná rtuť projde rovinou X1, uzavře objem baňky a kapiláry, kde je tlak P_1 . Při dalším zvedání hladiny působí Hg jako píst a stlačuje plyn až do kompresní kapiláry - hladina Hg ve srovnávací kapiláře je v rovině X3. Označme objem nezaplněné kapiláry V_2 a tlak v tomto objemu P_2 .

$$P_2 = P_1 + H \text{ [torr]}$$

Označme V_1 objem baňky a kapiláry.

$$V_2 = \frac{1}{4}\pi d^2 h$$

kde d je průměr kapiláry, h je rozdíl rovin X4, X2

$$\begin{aligned}P_1 &= \frac{V_2}{V_1} P_2 = \frac{\frac{1}{4}\pi d^2 h}{V_1} P_2 = \\&= \frac{\pi d^2}{4V_1} h(P_1 + H)\end{aligned}$$

$K = \frac{\pi d^2}{4V_1}$ je konstanta manometru

$$P_1 = Kh(P_1 + H) \Rightarrow$$

$$\Rightarrow P_1 = \frac{KhH}{1 - Kh}$$

pro $Kh \ll 1$ lze zjednodušit na

$$P_1 = KhH \text{ [torr]}$$

Měřící metody:

- lineární - $h = \text{konst} \Rightarrow P_1 = K_1 H$ [torr] ; $K_1 = Kh$
- kvadratická - Hg ve srovnávací kapiláře se zvedá až na rovinu X4, pak
 $h = H \Rightarrow P_1 = Kh^2$ [torr]

Manometr měří tím nižší tlaky čím menší je konstanta $K \Rightarrow$ čím je objem baňky větší a průměr kapiláry menší.

Minimální průměr kapiláry je 0,7 mm, při menších průměrech potíže s pohybem Hg.

Objem baňky nelze libovolně zvětšit - velká hmotnost Hg.

Kompresním manometrem nelze měřit tlak par kondenzujících za podmínek, při kterých se měření provádí.

Dolní hranice měřených tlaků je $\sim 10^{-4}$ Pa.

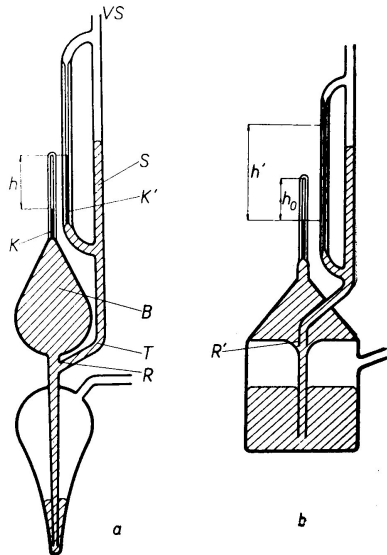
Horní hranice měřených tlaků je $\sim 10^2$ Pa.

Měřící rozsah 3 – 4 řady.

Výhody: jednoduchá konstrukce, absolutní měření, kalibrace ostatních manometrů

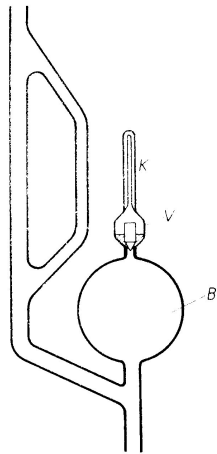
Nevýhody: páry pracovní kapaliny, neměří spojité

Různé typy McLeodova manometru



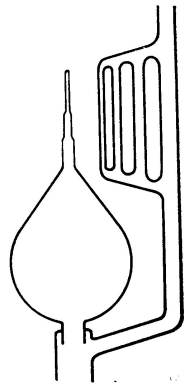
L. Pátý: Fyzika nízkých tlaků, Academia, Praha 1968

VAKUOVÁ FYZIKA 1

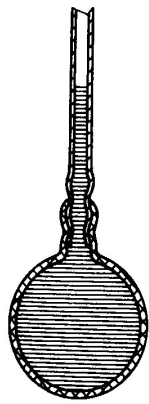


Obr. 7-7a. Kompresní manometr s vícenásobnou kompresí

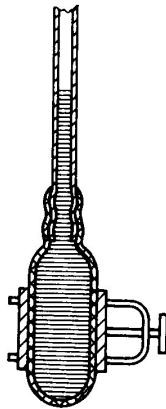
V = plováčkový ventil
těsněný rtuti.



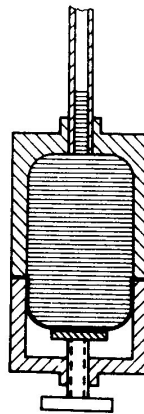
Obr. 7-7b. Kompresní manometr s kapilárou o různých průřezech.



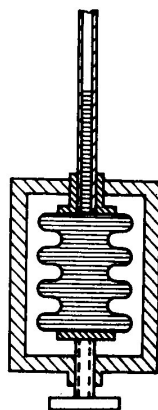
(a)



(b)

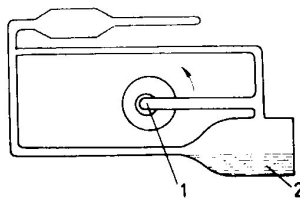


(c)

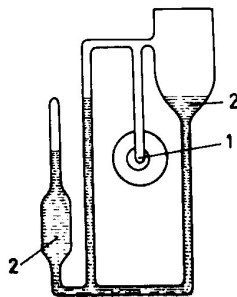


(d)

A. Roth: Vacuum technology, Elsevier, 1990



a)



b)

Poznámka: Kapalinové manometry se dnes ve vakuové technice nepoužívají k běžnému měření.

Speciální typy kapalinových manometrů se stále používají v metrologii, jako etalonové manometry, pro kalibrace ostatních manometrů.

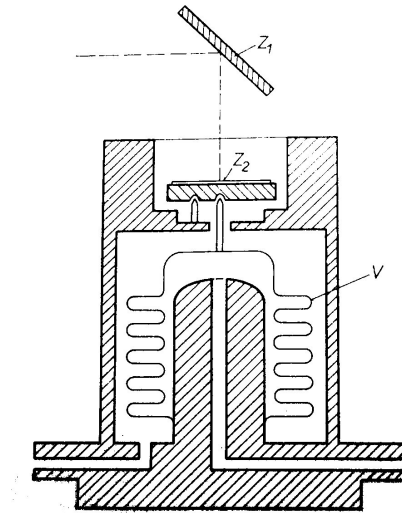
Mechanické manometry

V mechanických (deformačních) manometrech se tlak určuje z deformace pružného elementu.

- Membránové manometry - vlivem tlaku se deformuje membrána - deformace se přenáší na mechanický ukazatel, na jedné straně membrány referenční tlak
- Trubičkové manometry
- Vlnovcové manometry

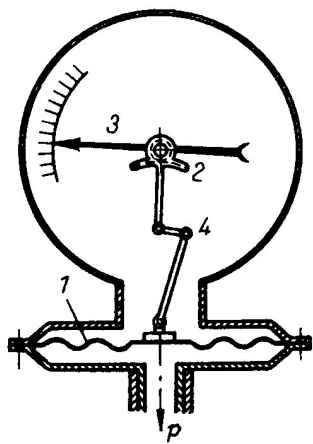
Pouze mechanika, bez elektroniky, bez napájení.

Měří tlak v rozsahu $133 - 10^5$ Pa

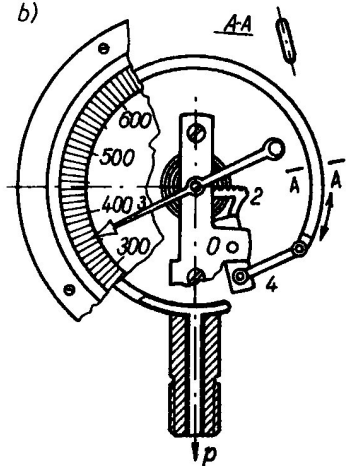


L. Pátý: Fyzika nízkých tlaků, Academia, Praha 1968

a)

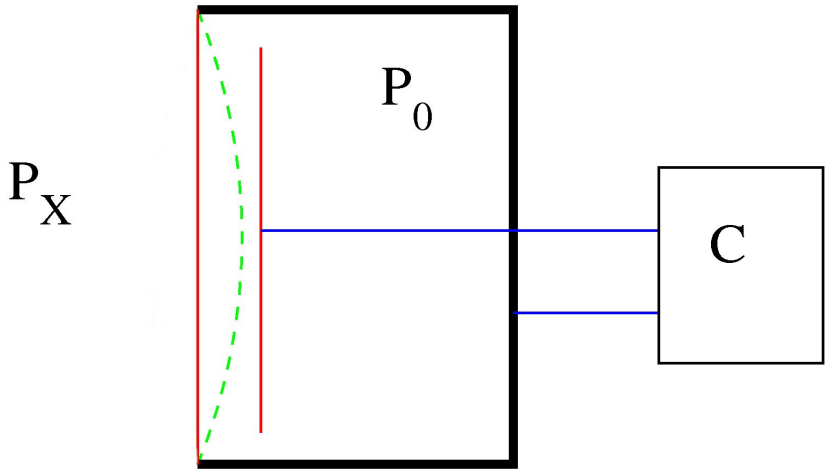


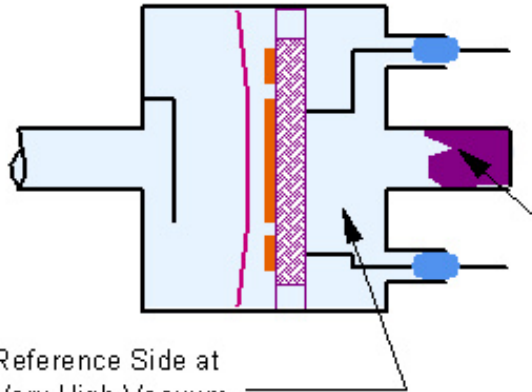
b)



J. Groszkowski: Technika vysokého vakua, SNTL, Praha 1981

Kapacitní manometr





Getter Pump to
Maintain Low
Reference Pressure

firemní materiály firmy MKS

Princip: deformace membrány a měření její kapacity

Dolní hranice měřených tlaků je $\sim 10^{-3}$ Pa.

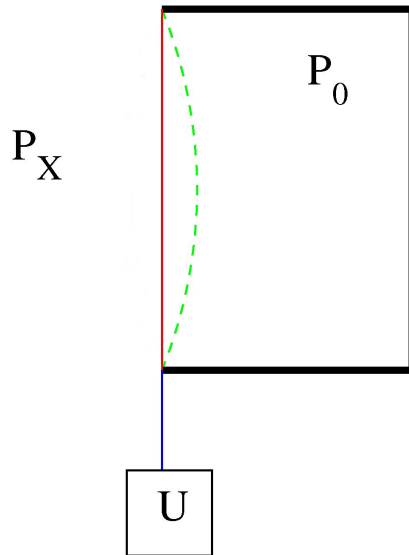
Horní hranice měřených tlaků je $\sim 10^5$ Pa.

Měřící rozsah nejčastěji 4 řády.

Výhody: absolutní měření, kalibrace ostatních manometrů, velká přesnost,
chyba měření < 1%

Nevýhody: nutnost kalibrovat nulu

Piezo-manometr



Princip: deformace membrány s piezo-prvkem

Dolní hranice měřených tlaků je $\sim 10^1$ Pa.

Horní hranice měřených tlaků je $\sim 10^5$ Pa.

Výhody: absolutní měření, kalibrace ostatních manometrů, velká přesnost,
chyba měření $< 1\%$

Nevýhody: malý měřící rozsah

Molekulární manometry

Dopadají-li molekuly plynu o teplotě T_1 a se střední aritmetickou rychlostí v_{a1} na stěnu o teplotě T_1 , působí na stěnu tlakem P .

$$\nu = \frac{1}{4}nv_a ; P = \frac{1}{3}m_o n v_e^2 ; \frac{v_e}{v_a} = \sqrt{\frac{3\pi}{8}}$$

$$P = \frac{1}{2}\pi\nu m_o v_{a1}$$

Přitom polovina tlaku je vyvolána od dopadajících molekul a polovina od odražených molekul. Pokud bude teplota stěny T_2 různá od teploty plynu T_1 , pak bude střední aritmetická rychlosť odražených molekul v_{a2} různá od původní rychlosti v_{a1} . Proto aniž se změní koncentrace molekul změní se hodnota tlaku působící na stěnu.

$$P' = \frac{1}{4}\pi\nu m_o v_{a1} + \frac{1}{4}\pi\nu m_o v_{a2} \Rightarrow$$

$$\Rightarrow P' = \frac{1}{4}\pi\nu m_o v_{a1} \left(1 + \frac{v_{a2}}{v_{a1}}\right) = \frac{1}{2}P \left(1 + \frac{v_{a2}}{v_{a1}}\right)$$

$$T_1 = T_2 \Rightarrow P' = P$$

$$T_1 < T_2 \Rightarrow P' > P$$

Toho můžeme využít pro měření tlaku. Dvě desky vzdálené od sebe o d

1 - teplota T_1 - pohyblivá

2 - teplota T_2 - nepohyblivá

$$T_2 > T_1 ; \lambda \gg d$$

$$\Delta P = P' - P = \frac{1}{2}P \left(1 + \frac{v_{a2}}{v_{a1}}\right) - P = \frac{1}{2}P \left(\sqrt{\frac{T_2}{T_1}} - 1\right) \Rightarrow$$

$$\Rightarrow P = 2\Delta P \frac{\sqrt{T_1}}{\sqrt{T_2} - \sqrt{T_1}}$$

Odvození platí pro akomodační koeficienty rovný 1. Akomodační koeficient závisí na druhu plynu, proto tento manometr není absolutní.

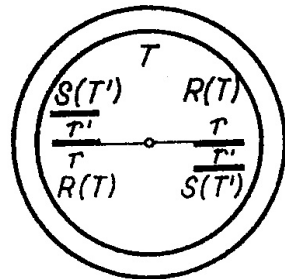
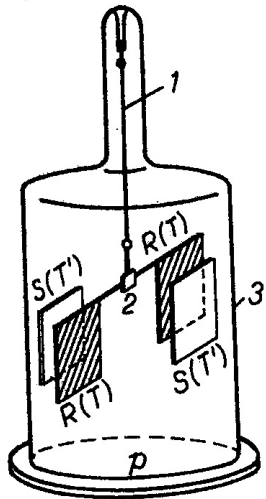
Dolní hranice měřícího rozsahu je určena velikostí tlaku záření zahřáté destičky. Horní hranice je dána podmínkou $\lambda \sim d$.

Dolní hranice měřených tlaků je $\sim 10^{-5}$ Pa.

Horní hranice měřených tlaků je $\sim 10^1$ Pa.

Molekulární manometr se dnes nepoužívá, ale má zajímavý princip měření.

a)



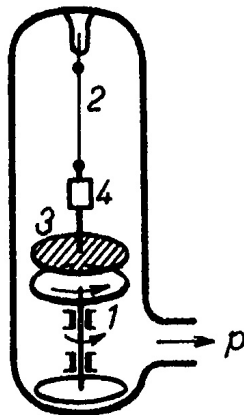
J. Groszkowski: Technika vysokého vakua, SNTL, Praha 1981

Tab. 2.9. Akomodační koeficient (při teplotě asi 300 K)

Kov	Plyn					
	He	Ne	Ar	H ₂	N ₂	O ₂
W odplyněný (a poté s vrstvou adsorbovaného plynu)	0,02 (0,5)	0,06 (0,74)	(0,8)			
pokrytý vrstvou plynu	0,35			0,35	0,9	0,9
Ni pokrytý vrstvou plynu	0,4	0,8	0,95	0,3	0,8	0,85
Pt leštěná neleštěná černěná				0,35 0,3 0,7	0,8	0,85 0,85 0,95
Fe pokryté vrstvou plynu	H ₂ O ₂ N ₂		0,1 0,27 0,44			
sklo neodplyněné	0,35	0,7	—	0,3	0,8	0,8

J. Groszkowski: Technika vysokého vakua, SNTL, Praha 1981

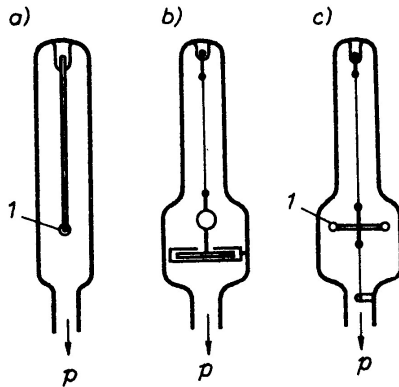
Viskózní manometr



Měřící obor $10^{-5} - 10^0$ Pa

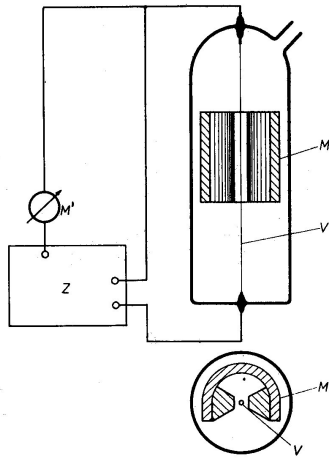
J. Groszkowski: Technika vysokého vakua, SNTL, Praha 1981

Různé útlumové manometry



S kmitající tyčinkou, s kotoučem, který koná torzní kmity, s tyčinkou, která koná torzní kmity, rozsah $\sim 10^{-4} - 10^1$ Pa

J. Groszkowski: Technika vysokého vakua, SNTL, Praha 1981



Obr. 7-12. Manometr s vláknem kmitajícím s konstantní výchylkou (dle Beckera)

M — magnet *Z* — zesilovač
V — vlákno *M'* — měřicí přístroj

Viskózní manometr s rotující kuličkou

Hlavní typ viskózního manometru, který se dnes používá je manometr s rotující kuličkou. Měří se zpomalení rotující kuličky, která levituje v magnetickém poli. Měření je závislé na akomodačním koeficientu pro přenos tečné složky hybnosti pro daný plyn a kuličku. Akomodační koeficient je nutné určit experimentálně. Hodnota akomodačního koeficientu je v čase velmi stabilní.

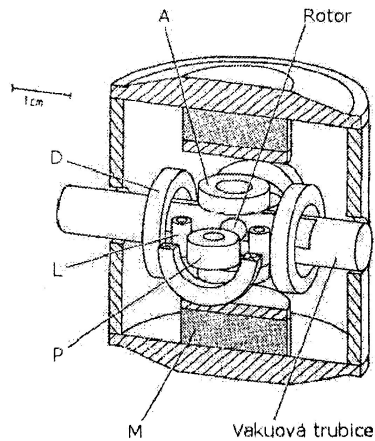
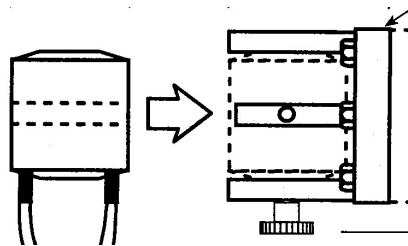
$$-\frac{1}{\omega} \frac{d\omega}{dt} = \alpha \frac{10}{\pi} \frac{1}{\varrho r} \frac{P}{v_a}$$

Malé kompaktní zařízení.

Rozsah $100 \text{ Pa} - 10^{-5} \text{ Pa}$.

Chyba měření pro tlaky $1 \text{ Pa} - 100 \text{ Pa}$ asi 10%.

Chyba měření pro nízké tlaky asi 1%.



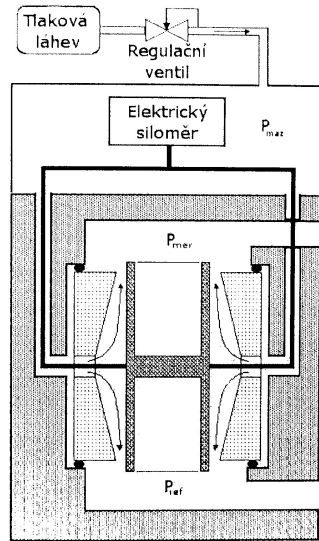
P.Klenovský, bakalářská práce, MU, 2006

Konická tlaková měrka

Patří do kategorie pístových měřidel tlaku. Tlak se měří jako síla působící kolmo na efektivní plochu pístu. Tento manometr měří tlakovou diferenci mezi prostorem nad pístem a prostorem pod ním. Typ FPG8601 - měřící rozsah 0,5 Pa – 15 kPa. Nejpřesnější manometr pro tento tlakový rozsah (státní etalon), rozlišení 10 mPa, reprodukovatelnost 20 mPa. Nutno započítat opravy na vztlakovou a třecí sílu mazacího plynu, tepelnou roztažnost pístu, ... Je nutné provádět kalibrace pomocí přesných závaží a nulování manometru.

Tlak na referenční straně vlivem mazacího plynu neklesá pod 0,15 Pa.
Pro přesná měření v oblasti nízkých tlaků nutno měřit jiným manometrem.

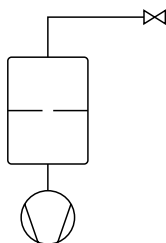
Konická tlaková měrka se používá v metrologii pro kalibraci ostatních manometrů.



P.Klenovský, bakalářská práce, MU, 2006

Cvičení

26) Dynamická expanze. Komora je rozdělena přepážkou s malým otvorem (vodivost otvoru úloha 25). Spodní část komory je čerpána vývěvou s velkou čerpací rychlostí. Do horní části komory napouštíme proud vzduchu $I = 0,067 \text{ PaL/s}$. Jaký bude tlak v horní části komory? Plynem je vzduch při teplotě 293 K, předpokládáme molekulární proudění.

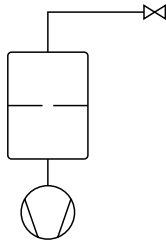


$$I = G(p_2 - p_1), \quad I = p_1 S_1, \quad I = p_2 S_2$$

$$\frac{1}{G} = \frac{1}{S_2} - \frac{1}{S_1}; \quad S_1 \gg S_2; \quad S_2 = G$$

$$p_2 = \frac{I}{G}; \quad p_2 = 1,15 \times 10^{-2} \text{ Pa}$$

- 27) Dynamická expanze. Jaká je minimální čerpací rychlosť vývěvy z úlohy 26, pokud má být přesnost stanovení tlaku plynu v horní části komory 1%?



$$p_2 \geq 100p_1$$

$$I = p_1 S_1$$

$$S_1 = \frac{I}{p_1} ; \quad S_1 = 582 \text{ L/s}$$

- 28) Kolik vody v [g] je v 1 m^3 vzduchu? Vzduch má teplotu 20°C a relativní vlhkost 40 %. Tenže par vody při této teplotě je $P_r = 2330 \text{ Pa}$.

$$P_p = 0,4 \times P_r = 932 \text{ Pa}; \quad P_p = nkT; \quad M_0 = 18$$

$$m = \frac{P_p}{kT} VM_0 m_u \doteq 6,9 \text{ g}$$

29) Čerpáme vzduch s teplotou $20\text{ }^{\circ}\text{C}$ a relativní vlhkostí 40 % pomocí rotační olejové vývěry. Při jakém vstupním tlaku bude nastávat kondenzace vodní páry ve vývěvě? Pracovní teplota vývěry je $60\text{ }^{\circ}\text{C}$. Tenze par vody při teplotě $20\text{ }^{\circ}\text{C}$ je 2330 Pa, při teplotě $60\text{ }^{\circ}\text{C}$ je 21280 Pa.

$$K = \frac{P_{atm}}{P_{vstup}} ; P_p K \geq P_{r60}$$

$$P_p = 0,4 \times P_{r20} = 932 \text{ Pa}$$

$$\frac{P_{atm}}{P_{r60}} P_p \geq P_{vstup}$$

$$4,4 \text{ kPa} \geq P_{vstup}$$

30) Jak dlouho bude trvat vyčerpat vakuovou komoru z tlaku $P_1 = 1000$ Pa na tlak $P_2 = 10$ Pa? Objem komory je 50 L, čerpací rychlosť vývěvy $15 \text{ m}^3/\text{h}$, mezní tlak je $P_0 = 1 \text{ Pa}$. Spočítejte s i bez zanedbání mezního tlaku.

$$\Delta t = \frac{V}{S} \ln \frac{(P_1 - P_0)}{(P_2 - P_0)}$$

- a) se zanedbáním $\Delta t_1 = 54,8 \text{ s}$
- b) bez zanedbání $\Delta t_2 = 56,1 \text{ s}$

31) Vývěva čerpá komoru ve tvaru koule o průměru 75 cm.

V čase $t_1 = 0,66$ min byl naměřen tlak $P_1 = 491,6$ mbar,

v čase $t_2 = 4,95$ min byl naměřen tlak $P_2 = 0,52$ mbar.

Zanedbejte mezní tlak. Jaká je průměrná čerpací rychlosť vývěvy v tomto časovém intervalu?

$$S = \frac{V}{\Delta t} \ln \frac{P_1}{P_2} ; \quad \Delta t = t_1 - t_2$$

$$S \doteq 21,2 \text{ } m^3 h^{-1}$$

32) Určete dobu čerpání vakuové komory. Objem komory $V = 1 \text{ m}^3$, vnitřní plocha $A = 6 \text{ m}^2$, chceme dosáhnout tlak $P_4 = 10^{-6} \text{ Pa}$. Čerpáme pomocí rotační olejové vývěvy $S_1 = 16 \text{ m}^3/\text{h}$ a turbomolekulární vývěvy $S_2 = 200 \text{ L/s}$. Atmosférický tlak $P_1 = 1013 \text{ hPa}$, $t = t_1 + t_2 + t_3$.

- $t_1: 1013 \text{ hPa} \rightarrow 0,1 \text{ hPa}$ (rotačka)
- $t_2: 0,1 \text{ hPa} \rightarrow 10^{-4} \text{ hPa}$ (turbo)
- $t_3: 10^{-4} \text{ hPa} \rightarrow 10^{-6} \text{ hPa}$ (turbo)

$$t_3 = \frac{q_{des} A t_0}{S_2 P_4}, \quad q_{des} = 2 \times 10^{-8} \frac{\text{hPaL}}{\text{scm}^2} \text{ pro } t_0 = 1 \text{ h}$$

33) K velké vakuové komoře připojíme pomocí trubičky ($D = 5 \text{ mm}$, $L = 125 \text{ cm}$) komůrku s objemem $V = 250 \text{ cm}^3$. V celé aparatuře je tlak $P_1 = 1,333 \text{ Pa}$, ve velké komoře rychle snížíme tlak na $P_0 = 1,333 \times 10^{-2} \text{ Pa}$. Za jak dlouho bude v malé komůrce tlak $P_2 = 2,666 \times 10^{-2} \text{ Pa}$? V aparatuře je vzduch, teplota je 293 K.

- 34)** K aparatuře je připojen otevřený U-manometr naplněný rtutí. Rozdíl hladin v ramenech je $h = 200$ mm. Jaký tlak je v aparatuře? Atmosférický tlak je 10^5 Pa.

- 35)** K aparatuře je připojen uzavřený U-manometr naplněný rtutí. Rozdíl hladin v ramenech je $h = 200$ mm. Jaký tlak je v aparatuře? Atmosférický tlak je 10^5 Pa.

36) Odvod'te vztah pro McLeodův manometr.

- 37)** Navrhněte McLeodův manometr, který bude měřit v rozsahu $6,67 \times 10^{-4}$ Pa – 1,5 Pa a bude používat kvadratickou stupnici. Průměr měřící kapiláry je 0,6 mm, konstanta manometru je $1,666 \times 10^{-4}$ Pamm $^{-2}$. Odhadněte potřebné množství rtuti. Určete délku měřící kapiláry. Hustota Hg je $\varrho = 13546$ kgm $^{-3}$.